

国立公害研究所 正員 ○福島武彦
同上 正員 村岡浩爾

1. はじめに

浅い湖は負荷率(負荷/湖容積)が大きく、一般的に富栄養化しやすいが、本理的に見ても安定な水温躍層が存在しえないほど海域深い湖とは異なる特性を有している。ここでは霧ヶ浦(高流入域)を対象に行なった湖流観測の結果及び分散係数を用いて湖内の長期本平混合現象を表現した結果を報告する。さらに湖形状による湖流混合の形態についてまとめたものを示す。

2. 湖流観測結果

図1に調査区域と地点を示す。ここでは1977年夏期に2回実施したT-T断面での固定点流動観測と1978年秋期に行なったSt.1~4, 4点でのT-Dト追跡による湖流観測の結果を報告する。前者は高流入

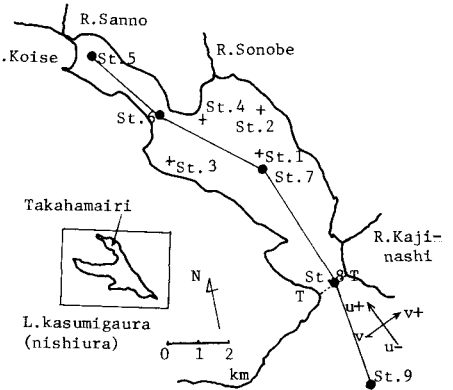


図1 調査地点

湖心域と接続する狭容部(中1km, 水深4~6m)において等間隔に4点、深さ1m毎、1時間毎に流速を測定したが、これを断面垂直、平行成分に分けるとともに、それぞれの成分を平均流速、断面平均の時間変化特性、地点特性、水深特性に分離し整理を行なった。図2, 3にその中で特徴的な結果を示す。(平均流速は7月5日0.12cm/s, 8月19日1.33cm/s程度の高流入よりの流出を示すが、特に8月19日の調査前には200mm程度の天降雨があり、影響が出ており、平常時においては無視できると考えられる。)図2には断面垂直流速uの断面平均の時間変化を示したが、2回の調査とも流速波形の振幅2cm/s程度のセイシュが認められる。この振幅の大きさは表中のセイシュの流速を示す式により求まる値とほぼ等しく、図2のセイシュと考えられる。次に周期は霧ヶ浦を3つの入域の結合と考えて形状を与えてNeumannの方法により得られる周期141, 101, 63...分の最大のものとはほぼ一致している。図3には断面平行流速vの鉛直変化を示すが、2回の調査とも風向はENEにほぼ断面に平行、また風速は3~7m/sであった。図より特に表層で潮流、底層で逆流の吹送流が生じていることがわかる。なお表面流速は風速の1%程度であった。図4には後者のT-Dト追跡湖流観測の結果を示す。午前中は0.5m/sと弱風であったため、各点での流向流速はきわめて特徴を示さないが、午後には4.0m/sの強風になると、上層(水面下0.5m)で4~10cm/sと早い吹送流が生じた。0.5m水深での流速を表面流速に換算すると20cm/s程度となり風速の5%程度である。分散係数は固定点観測で1%, T-Dト追跡で5%の値を得たわけであるが、前者は狭容部という影響が強く出たためと考えられる。実験海域での実測の報告値としては3%程度が多いが、糸越富所(諏訪湖), Bharmits

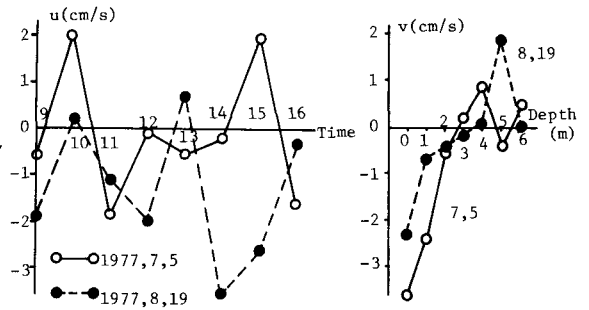


図2 uの断面平均の時間変化

図3 vの水深特性

図2には断面垂直流速uの断面平均の時間変化を示したが、2回の調査とも流速波形の振幅2cm/s程度のセイシュが認められる。この振幅の大きさは表中のセイシュの流速を示す式により求まる値とほぼ等しく、図2のセイシュと考えられる。次に周期は霧ヶ浦を3つの入域の結合と考えて形状を与えてNeumannの方法により得られる周期141, 101, 63...分の最大のものとはほぼ一致している。図3には断面平行流速vの鉛直変化を示すが、2回の調査とも風向はENEにほぼ断面に平行、また風速は3~7m/sであった。図より特に表層で潮流、底層で逆流の吹送流が生じていることがわかる。なお表面流速は風速の1%程度であった。図4には後者のT-Dト追跡湖流観測の結果を示す。午前中は0.5m/sと弱風であったため、各点での流向流速はきわめて特徴を示さないが、午後には4.0m/sの強風になると、上層(水面下0.5m)で4~10cm/sと早い吹送流が生じた。0.5m水深での流速を表面流速に換算すると20cm/s程度となり風速の5%程度である。分散係数は固定点観測で1%, T-Dト追跡で5%の値を得たわけであるが、前者は狭容部という影響が強く出たためと考えられる。実験海域での実測の報告値としては3%程度が多いが、糸越富所(諏訪湖), Bharmits

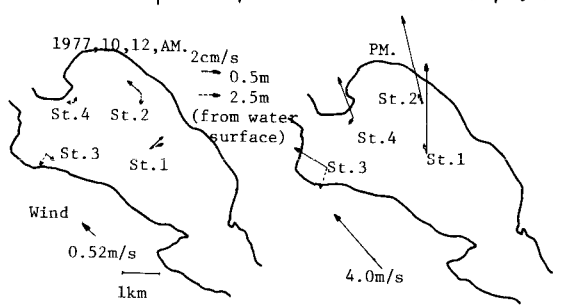


図4 T-Dト追跡による湖流観測結果

午前中は0.5m/sと弱風であったため、各点での流向流速はきわめて特徴を示さないが、午後には4.0m/sの強風になると、上層(水面下0.5m)で4~10cm/sと早い吹送流が生じた。0.5m水深での流速を表面流速に換算すると20cm/s程度となり風速の5%程度である。分散係数は固定点観測で1%, T-Dト追跡で5%の値を得たわけであるが、前者は狭容部という影響が強く出たためと考えられる。実験海域での実測の報告値としては3%程度が多いが、糸越富所(諏訪湖), Bharmits

(Fox Chain of Lakes)²⁾の美濃値も5~10%と大きく、浅い湖においては底面地形により速い流れが生じる可能性が考えられる。

3. 混合現象

奥行きが深い湾では湾軸方向への分散現象が本質汚濁の観点より重要なものとなるが、ここでは栗木³⁾の行なう、E瀬戸内海での一次元分散解析に準じ、以下の通りに解析した。図1に示すSt.5~9の5点における電導度の各月値を用いて、高流入域での湾軸方向の混合現象を簡単に一次元分散現象としてとらえ、式(1)より分散係数 D_x を算定した。

$$D_x(x=x) = \left(\int_0^x \frac{\partial E}{\partial t} dA dx - Q_0 E_0 + Q E_{Lx} \right) / A_{Lx} \cdot \left(\frac{\partial E}{\partial x} \right)_{Lx} \quad (1)$$

E:電導度, A:横断面積, Q:河川流量, E_0 :河川水電導度

Q, E_0 としては図1に示す高流入域4河川での月平均値を用いて計算し、図5に結果を示す。(1)式より D_x を1ヵ月平均値として求める妥当性を評価するためにSt.6, 7, 8までの滞留時間を計算すると、St.6. 26~120日, St.7. 85~380日, St.8. 135~540日となり30日より相当大きく、この平均値は適当であると考えられる。図5よりSt.6, 7で $1.5 \times 10^4 \text{ cm}^2/\text{s}$, St.8で $7 \sim 20 \times 10^4 \text{ cm}^2/\text{s}$ のオーダーの値もつことがわかる。これを表に示す流況の形態による混合係数と比較すると、セイシュによる往復流分散係数 $1 \times 10^3 \text{ cm}^2/\text{s}$ ($U_p = 2 \text{ cm/s}$, $T = 150 \text{ min}$)、吹送流による循環流吹送方向 $2.3 \times 10^3 \text{ cm}^2/\text{s}$ ($h = 4 \text{ m}$, $k_2 = 0.068 \times 0.5 \times U_p h$, $u_x = 0.5 \text{ cm/s}$)、直向方向 $1.5 \text{ cm}^2/\text{s}$ と取り出すと小さく、水平循環 3×10^4 ($L = 2.5 \text{ km}$, $U = 4 \text{ cm/s}$)と取り出すと一致を示す。また $4/3$ 乗則 $K(\text{cm}^2/\text{s}) = 0.01 \sim 0.09 L^{4/3}(\text{cm})$ では $1.5 \sim 14 \times 10^5 \text{ cm}^2/\text{s}$ 程度の値となり大きすぎる。この結果、高流入のこの3河川部では吹送流による巨形性の水平循環流が混合に大きく寄与しているものと予想される。

4. 湖形状による湖流・混合特性

湖における流動の形態は一般に吹送流、風起因のセイシュ(内部セイシュも含めて)、河川固有流の三者が考えられるが、それぞれの流れの大きさ、滞留時間、エネルギー及び混合への寄与の大きさを湖形状L, hにより整理してみたのが表である。2.の固定点流速測定の結果では吹送流≒セイシュ>>河川固有流に得たが、これは湾口部であるため、一般的に湖においては表に示されるように河川流量, $L/h^{3/2}$ が極端に大きければ吹送流が卓越すると考えられる。次に混合の程度であるが、3及び表に示すように深い湖でも浅い湖においても吹送流による水平循環流が小さく寄与することが予想される。河川固有流については、深い湖ではエネルギーの供給の大きさでは吹送流に對抗しうる程度と考えられ、混合への寄与の割合も増加して中くと考えられる。

(表中で吹送流による循環流, セイシュのときは、全水深にわたる k_2 が一定であると仮定してある。)

[文献] 1) 土木学会論文報告集 No. 276 (1978), 2) WRR 14, (4), (1978), 3) 第17回海洋工学講演会論文集(1978), 4) J of Fluid Mech. Vol. 15 (1959), 5) 本利科学 No. 108 (第20巻1号), 6) 第5回海洋工学講演会論文集(1956).

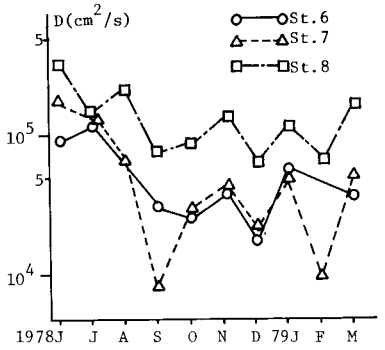


図5 分散係数の月別変化
表 湖流の形態による流動・混合現象の大きさ

流況の形態	吹送流	風起因のセイシュ	河川固有流
流況の大きさ	$U_w = \frac{Q_0 h}{4 \rho k_2}$	$U_p = \frac{\pi}{4} \frac{Q_0 L}{\rho g h^{3/2}}$	$U_k = Q / L h$
エネルギー (湖全体)	$E_k = \frac{Q_0 h}{4 \rho k_2} A \frac{h^2}{60 k_2}$ or $E_w T_w = \frac{Q_0 h}{4 \rho k_2} A T_w$	$E_p = \frac{Q_0 h}{4 \rho k_2} A \frac{L^2 k_2}{24 g h^3}$	$E_k = \frac{1}{2} \rho Q U_k^2 T_R$ $= \frac{1}{2} \rho L^2 h U_k^2$
滞留時間	T_w	$\propto \frac{2\sqrt{2} L^{1/2} h^{3/2}}{g \pi^{1/2} k_2^{1/2}}$	滞留
混合の大きさ	1. 鉛直循環流 a. 吹送方向 $D_1 = \frac{Q_0 h^4}{1680 \rho^2 k_2^2}$ b. 直向方向 $D_2 = \alpha_1 k_2$ $\alpha_1 \approx 3$ 2. 水平循環流 $D_3 = \alpha_2 U_w L$ $\alpha_2 = 0.03$	$D_p = \alpha_3 U_p^2 T_s$ $\alpha_3 = 0.1/4$	浮上しflowと対抗せよ。 (漂流の混合) 恒流

T_0 : 風の応力, L : 湖の水平半径, h : 水深, k_2 : 鉛直分散係数, Q : 河川流量, U_k : 河川流速, A : 湖表面積, T_R : 滞留時間, α_1 : Elder⁴⁾, α_2 : 王井⁵⁾, α_3 : 栗木⁶⁾